

**UNIVERSIDADE FEDERAL DE JUIZ DE FORA**  
**INSTITUTO DE CIÊNCIAS EXATAS**  
**PROGRAMA DE PÓS-GRADUAÇÃO EM MODELAGEM**  
**COMPUTACIONAL**

**Welson de Avelar Soares Filho**

**Aprendizado de máquina com dados categóricos na modelagem chuva-vazão  
para previsão de vazão em bacias hidrográficas de Minas Gerais**

Juiz de Fora  
2024

**Welson de Avelar Soares Filho**

**Aprendizado de máquina com dados categóricos na modelagem chuva-vazão  
para previsão de vazão em bacias hidrográficas de Minas Gerais**

Dissertação apresentada ao Programa de Pós-Graduação em Modelagem Computacional da Universidade Federal de Juiz de Fora como requisito parcial à obtenção do título de Mestre em Modelagem Computacional. Área de concentração: Modelagem Computacional

Orientador: Doutor Leonardo Goliatt

Juiz de Fora

2024

Ficha catalográfica elaborada através do Modelo Latex do CDC da UFJF  
com os dados fornecidos pelo(a) autor(a)

Soares Filho, Welson de Avelar.

Aprendizado de máquina com dados categóricos na modelagem chuva-vazão para previsão de vazão em bacias hidrográficas de Minas Gerais / Welson de Avelar Soares Filho. – 2024.

42 f. : il.

Orientador: Leonardo Goliatt

Dissertação (Mestrado) – Universidade Federal de Juiz de Fora, Instituto de Ciências Exatas. Programa de Pós-Graduação em Modelagem Computacional, 2024.

1. recursos hídricos. 2. redes neurais. 3. previsão de vazão. I. Goliatt, Leonardo, orient. II. Doutor.

**Welson de Avelar Soares Filho**

**Aprendizado de máquina com dados categóricos na modelagem chuva-vazão  
para previsão de vazão em bacias hidrográficas de Minas Gerais**

Dissertação apresentada ao Programa de Pós-Graduação em Modelagem Computacional da Universidade Federal de Juiz de Fora como requisito parcial à obtenção do título de Mestre em Modelagem Computacional. Área de concentração: Modelagem Computacional

Aprovada em (dia) de (mês) de (ano)

**BANCA EXAMINADORA**

---

Doutor Leonardo Goliatt - Orientador  
Universidade Federal de Juiz de Fora

---

Titulação Nome e sobrenome  
Universidade ???

---

Titulação Nome e sobrenome  
Universidade ??



## AGRADECIMENTOS

Agradeço aos meus pais, Regina e Welson, por terem se dedicado, desde sempre, para que eu, meu irmão e irmã, buscássemos nos aprimorar enquanto cidadãos através dos estudos. A participação e acompanhamento em cima de nossos estudos fixaram em mim o desejo pela busca do conhecimento. Este trabalho tem parte de vocês. Muito obrigado.

Meu irmão Raphael e irmã Patrícia. Precisei me abster, em muito, de seu convívio, mas eu nunca esqueci de seu companheirismo, de sua amizade e do quanto apoio tive neste momento da vida.

Minha noiva, Juliana, minha companheira, que tanto precisou abdicar de seu próprio lazer, de feriados e finais de semana, para que eu ficasse em casa totalmente dedicado e focado neste trabalho. Obrigado por tanto e a vida ao seu lado é, certamente, mais saborosa por isso.

Ao Instituto Federal de Educação, Ciência e Tecnologia do Sudeste de Minas Gerais, em especial ao campus de Juiz de Fora, por ter me apoiado no meu desejo de qualificar através do mestrado. Eu saí um tipo de servidor público e retorno agora bastante diferente, e desejo, profundamente, contribuir com a instituição e comunidade acadêmica para nosso aprimoramento.

Todos amigos de repartição, que aqui faço questão de nomear: Diego, Matheus, Bruno, Marcus e Jacqueline. Precisaram cobrir minhas atividades, e o fizeram com maestria, enquanto eu me dedicava ao mestrado. Vocês moram em meu coração.

Meus amigos e amigas pessoais que pouco me viram neste período, familiares também. Jamais esqueci de vocês e o quanto torciam por mim e pelo meu sucesso no cumprimento da atividade enquanto estive ausente do nosso viver. Tivemos conversas apenas por aplicativos, distantes, e anseio poder rever seus olhos.

Aos meus colegas de programa: meu muito obrigado. Conhecer pessoas tão incríveis com certeza ajuda a compor a relevância deste trabalho, e a amizade de vocês tornou a caminhada menos árdua.

Leonardo, meu caro orientador. Obrigado por partilhar de seu conhecimento comigo. Suas dicas e observações irão comigo onde quer que eu vá, onde quer que eu esteja.

Ao professor Celso Bandeira e à colega de projeto Paula pelas conversas e debates sobre os trabalhos desenvolvidos.

E, finalmente, à Rhama Analysis pela gentileza em me conceder acesso ao seu principal sistema de dados hidrológicos quando mais precisei.

Meu muito obrigado.



## **RESUMO**

Resumo do trabalho

Palavras-chave: Aprendizado de máquina. Recursos hídricos. Previsão de vazão.



## **ABSTRACT**

Project summary

Keywords: Machine learning. Water resources. Runoff forecasting.

## LISTA DE ILUSTRAÇÕES

Figura 3.1–Série temporal incompleta da estação t_vz_54790000 (fonte: o autor) . . . . .	22
Figura 3.2–Detalhe da série temporal da estação t_vz_54790000, ainda sem dados imputados, de 2013 a 2016 (fonte: o autor) . . . . .	22
Figura 3.3–Detalhe da série temporal da estação t_vz_54790000, com dados imputados, de 2013 a 2016 (fonte: o autor) . . . . .	23
Figura 3.4–Série temporal incompleta da estação t_vz_54790000 no detalhe entre 2021 e 2022 (fonte: o autor) . . . . .	23
Figura 3.5–Série temporal completa da estação t_vz_54790000 no detalhe entre 2021 e 2022 (fonte: o autor) . . . . .	24
Figura 3.6–Série temporal completa da estação t_vz_54790000 (fonte: o autor) . . . . .	24
Figura 3.7–Série temporal incompleta da estação t_cv_54790000 (fonte: o autor) . . . . .	25
Figura 3.8–Série temporal completa da estação t_cv_54790000 (fonte: o autor) . . . . .	25
Figura 3.9–Série temporal completa da estação t_cv_01640000 (fonte: o autor) . . . . .	26
Figura 3.10–Série temporal completa da estação c_vz_56994500 (fonte: o autor) . . . . .	26
Figura 3.11–Série temporal da estação t_cv_56990850 - não utilizada (fonte: o autor) . . . . .	27
Figura 3.12–Série temporal da estação t_cv_56994500 - não utilizada (fonte: o autor) . . . . .	27
Figura 3.13–Série temporal completa da estação c_cv_01941010 (fonte: o autor) . . . . .	28
Figura 3.14–Série temporal completa da estação c_cv_01941004 (fonte: o autor) . . . . .	28
Figura 3.15–Série temporal completa da estação c_cv_01941006 (fonte: o autor) . . . . .	29
Figura 3.16–Série temporal completa da estação t_cv_56990005 (fonte: o autor) . . . . .	29
Figura 3.17–Série temporal incompleta da estação t_vz_62020080 (fonte: o autor) . . . . .	30
Figura 3.18–Série temporal completa da estação t_vz_62020080 (fonte: o autor) . . . . .	31
Figura 3.19–Série completa da estação t_cv_61998080 (fonte: o autor) . . . . .	31
Figura 3.20–Detalhe do trecho com dados nulos da estação c_vz_44290002 (fonte: o autor) . . . . .	32
Figura 3.21–Série temporal completa da estação c_vz_44290002 (fonte: o autor) . . . . .	33
Figura 3.22–Série temporal completa da estação c_cv_01544017 (fonte: o autor) . . . . .	33
Figura 3.23–Série temporal completa da estação c_cv_01544032 (fonte: o autor) . . . . .	34
Figura 3.24–Série temporal completa da estação c_cv_01544036 (fonte: o autor) . . . . .	34
Figura 3.25–Diagrama resumindo o funcionamento do CatBoost (fonte: o autor) . . . . .	36
Figura 3.26–Fluxo de trabalho (fonte: o autor) . . . . .	37

## LISTA DE TABELAS

Tabela 3.1 – Estações usadas no rio Jequitinhonha . . . . .	18
Tabela 3.2 – Estações usadas no rio Doce . . . . .	19
Tabela 3.3 – Estações usadas no rio Grande . . . . .	19
Tabela 3.4 – Estações usadas no rio São Francisco . . . . .	19
Tabela 3.5 – Estações de precipitação usadas - final . . . . .	28

## **LISTA DE ABREVIATURAS E SIGLAS**

ANA	Agência Nacional de Águas e Saneamento Básico
Fil.	Filosofia
IBGE	Instituto Brasileiro de Geografia e Estatística
INMETRO	Instituto Nacional de Metrologia, Normalização e Qualidade Industrial

## LISTA DE SÍMBOLOS

$\forall$	Para todo
$\in$	Pertence

## SUMÁRIO

<b>1</b>	<b>INTRODUÇÃO . . . . .</b>	<b>14</b>
1.1	Contextualização . . . . .	14
1.2	Justificativa . . . . .	15
1.3	Problema de pesquisa . . . . .	15
1.4	Objetivos . . . . .	15
1.5	Estrutura da Dissertação . . . . .	15
<b>2</b>	<b>REVISÃO DA LITERATURA SOBRE O TEMA . . . . .</b>	<b>16</b>
2.1	Conceitos Teóricos Fundamentais . . . . .	16
2.2	Estudos Relacionados . . . . .	16
2.3	Aprendizado de Máquina na Hidrologia . . . . .	16
2.4	Dados de Precipitação e Vazão . . . . .	16
2.5	Modelos de Previsão de Vazão . . . . .	16
<b>3</b>	<b>METODOLOGIA . . . . .</b>	<b>17</b>
3.1	Descrição da Área de Estudo . . . . .	17
3.2	Dados Utilizados . . . . .	17
3.3	Pré-processamento dos Dados . . . . .	20
<b>3.3.1</b>	Rio Jequitinhonha . . . . .	21
<b>3.3.2</b>	Rio Doce . . . . .	24
<b>3.3.3</b>	Rio Grande . . . . .	27
<b>3.3.4</b>	Rio São Francisco . . . . .	32
3.4	Modelos de Aprendizado de Máquina . . . . .	32
<b>3.4.1</b>	Seasonal Naive . . . . .	32
<b>3.4.2</b>	Linear Regression . . . . .	34
<b>3.4.3</b>	CatBoost . . . . .	35
<b>3.4.4</b>	LightGBM . . . . .	36
3.5	Modelo Proposto . . . . .	37
<b>4</b>	<b>RESULTADOS E DISCUSSÃO . . . . .</b>	<b>38</b>
4.1	Desempenho dos Modelos . . . . .	38
4.2	Importância das Variáveis . . . . .	38
4.3	Discussão dos Resultados . . . . .	38
<b>5</b>	<b>CONCLUSÃO E PERSPECTIVAS . . . . .</b>	<b>39</b>
5.1	Conclusão . . . . .	39
5.2	Contribuições para a área . . . . .	39
5.3	Recomendações para Trabalhos Futuros . . . . .	39
<b>6</b>	<b>CITAÇÕES . . . . .</b>	<b>40</b>
6.1	SISTEMA AUTOR-DATA . . . . .	40
6.2	SISTEMA NUMÉRICO . . . . .	40

6.3	NOTAS . . . . .	40
	<b>REFERÊNCIAS . . . . .</b>	<b>42</b>

## 1 INTRODUÇÃO

A gestão dos recursos hídricos desempenha um papel crucial nas políticas públicas. Nos âmbitos socioeconômico, cultural e de saúde pública, conhecer a dinâmica dos recursos hídricos e entender como fatores externos impactam seu comportamento é de grande importância para os administradores públicos. A compreensão desses aspectos permite uma melhor tomada de decisões, garantindo a sustentabilidade dos recursos, a segurança hídrica e o bem-estar da população.

Neste sentido, prever a vazão de rios é um componente essencial na gestão de recursos hídricos, operação de reservatórios e mitigação de desastres naturais, especialmente em regiões onde a hidroeletricidade desempenha um papel crucial na matriz energética, como é o caso do Brasil. De acordo com o Balanço Energético Nacional de 2023, ano-base 2022, divulgado pelo Ministério de Minas e Energia, esta matriz energética representa cerca de 64% da oferta interna total de geração de energia elétrica (5). Desta forma, a previsão da vazão dos rios que abastecem os reservatórios das hidrelétricas tem importância no impacto econômico que uma usina em baixa capacidade de geração pode causar.

Em uma perspectiva mais direcionada à população, os rios abastecem represas e açudes que fornecem água potável para consumo humano e animal, além de irrigar a lavoura. Não apenas os rios, mas também a chuva têm impacto significativo nesse cenário. Uma análise criteriosa da previsibilidade da vazão dos rios nos dias seguintes permite ao poder público, por exemplo, reduzir ou até mesmo suspender outorgas para retirada de água, visando o bem-estar populacional. Além disso, essa análise pode auxiliar no planejamento de regimes de racionamento. Basta lembrarmos do ano de 2015, quando noticiava-se o “uso do volume morto” na Cantareira, no estado de São Paulo, pois a estiagem fora além do previsto e o abastecimento de cidades, da cidade de São Paulo propriamente, foram severamente afetados.(6)

E quando se fala em bem-estar populacional, não podemos deixar de considerar os eventos climáticos extremos.

Basta lembrar dos últimos desastres ocorridos nos estados de Minas Gerais, Rio de Janeiro, Paraná, São Paulo e Bahia que trouxeram não só perda econômica como também perda de vidas humanas. (1) (2) (8) (7)

Especificamente no estado de Minas Gerais há lacunas de conhecimento sobre os processos hidrológicos das bacias hidrográficas

### 1.1 Contextualização

Introduzir o tema, contextualizando a área de estudo e a relevância da pesquisa.



## 1.2 Justificativa

Explicar porque a pesquisa é importante e quais são contribuições.

## 1.3 Problema de pesquisa

Definir claramente o problema que a pesquisa busca resolver.

## 1.4 Objetivos

Objetivos gerais

Objetivos específicos do trabalho

## 1.5 Estrutura da Dissertação

Resumo breve da organização dos capítulos.

## 2 REVISÃO DA LITERATURA SOBRE O TEMA

### 2.1 Conceitos Teóricos Fundamentais

Conceitos e teorias básicas relacionadas ao tema.

### 2.2 Estudos Relacionados

Revisar literatura existente, destacar pesquisas similares e identificar lacunas.

### 2.3 Aprendizado de Máquina na Hidrologia

Discutir a aplicação de técnicas de ML na hidrologia, citando estudos relevantes.

### 2.4 Dados de Precipitação e Vazão

Descrever os tipos de dados utilizados no estudo e respectivas fontes.

### 2.5 Modelos de Previsão de Vazão

Comparar diferentes modelos de previsão de vazão (vou comparar com Seasonal-Naive e Linear Regression, duas baselines comumente aplicadas).

### 3 METODOLOGIA

#### 3.1 Descrição da Área de Estudo

Detalhar a localização e características da minha área de estudo.

#### 3.2 Dados Utilizados

##### FAZER IMAGEM DE ONDE ESTÃO AS ESTAÇÕES

Os dados de precipitação e vazão utilizados nesta pesquisa foram obtidos a partir do site da Agência Nacional de Águas e Saneamento Básico (ANA), por meio da biblioteca HydroBR (3). Esta biblioteca permitiu a listagem de todas as estações hidrométricas disponíveis, como, por exemplo, as estações convencionais de medição de vazão. Após a identificação e seleção das estações de interesse, cujos códigos estavam disponíveis na base de dados da ANA, desenvolveu-se um conjunto de funções para automatizar o processo de extração. Essas funções permitiram o *download* dos dados referentes ao período especificado diretamente do *webservice* fornecido pela ANA.

O período de dados analisado compreende **de 1º de janeiro de 2013 a 31 de dezembro de 2023**, totalizando 11 anos completos.

Foram utilizadas **séries temporais diárias** de precipitação e vazão. As colunas correspondentes às datas foram formatadas como *'datetime'*, enquanto os dados de precipitação e vazão foram representados como valores de ponto flutuante (*'float'*). Embora a frequência diária tenha sido adotada, é importante destacar que nem todas as séries temporais estavam originalmente nesse formato. Foi necessário lidar com quebra na continuidade das datas e com dados ausentes. Estes aspectos serão discutidos em detalhes em seções subsequentes.

Os dados de precipitação e vazão obtidos do site da ANA já estavam ajustados nas escalas padrão utilizadas em estudos hidrológicos. A precipitação foi fornecida em milímetros por dia (mm/dia), refletindo a quantidade de chuva que cai sobre uma unidade de área em um período de 24 horas e as vazões, por sua vez, foram disponibilizadas em metros cúbicos por segundo (m<sup>3</sup>/s), indicando o volume de água que passa por uma seção transversal do rio a cada segundo. Em algumas estações, foram observados valores extremamente elevados para determinados dias, tanto nas séries de precipitação quanto nas de vazão, os quais podem ser considerados *outliers*. Em relação aos dados de vazão, verificou-se a ocorrência de valores nulos (vazão igual a 0), o que indicaria a interrupção completa do fluxo do rio. Esse fenômeno, no entanto, não faz sentido, considerando que não há registro de eventos de seca tão severos nos rios analisados, conforme constatado na revisão bibliográfica e em fontes jornalísticas. Apesar destas anomalias, os dados não foram descartados, pois tanto os registros de vazão quanto os de precipitação utilizados nesta

pesquisa foram considerados consistidos pela ANA, ou seja, foram medidos e validados pela agência. O presente trabalho não questionou a veracidade dos dados; eles foram utilizados conforme disponibilizados pela ANA.

É relevante destacar que a consulta prévia ao sistema *on-line* da ANA foi essencial, pois frequentemente selecionavam-se códigos de estação que, ao final, não possuíam dados para o período especificado ou apresentavam códigos alterados na base de dados, sendo retornados como “inexistentes”. Quando um código de estação não retornava resultados na consulta ao sistema, foi necessário utilizar o sistema gentilmente cedido pela Rhama Analysis para verificar se o código da estação havia sido modificado. Nos casos em que se constatava a alteração, o novo código foi adotado, enquanto o código anteriormente informado como inexistente foi descartado.

Em cada rio analisado, a estação alvo, com a vazão que se pretendia prever, foram destacadas em *itálico* para ficar claro ao leitor como identificá-las.

A distinção entre estação convencional e telemétrica deve-se a esta ter informações a cada quinze minutos, a cada trinta minutos ou ser do tipo horária. Onde ocorreu de ter informações tão granuladas assim, para a precipitação foi feito o somatório para um dia e a vazão foi a média de um dia.

Por fim, é importante destacar a existência de estações híbridas, classificadas como “pluviométricas/fluviométricas”. Em alguns casos, o código da estação pode indicar que se trata de uma estação de vazão (com códigos iniciados em 5 ou 6, por exemplo), mas que também possui informações de precipitação. O inverso também ocorre, onde códigos indicam estações pluviométricas (com códigos iniciados em 016 ou 019, por exemplo) que, no entanto, contêm dados de vazão. Para garantir a consistência com a nomenclatura utilizada pela ANA, manteve-se a classificação original das estações, mesmo que estas contenham apenas dados de precipitação ou vazão.

Para facilitar a visualização, as estações de vazão e precipitação utilizadas no trabalho são apresentadas abaixo.

Tabela 3.1 – Estações usadas no rio Jequitinhonha

<b>Telemétricas</b>				
<b>Pluviométricas/Fluviométricas</b>				
<b>Código</b>	<b>Nome</b>	<b>Município</b>	<b>Latitude</b>	<b>Longitude</b>
<i>54790000</i>	<i>UHE ITAPEBI MONTANTE 1</i>	<i>SALTO DA DIVISA</i>	<i>-16,08</i>	<i>-40,0521</i>
01640000	JACINTO	JACINTO	-16,1386	-40,2903

É importante destacar algumas observações sobre as estações do rio Grande. Durante o período pesquisado, apenas foram encontrados dados de precipitação e vazão em estações localizadas no estado de São Paulo. As estações utilizadas para o rio Grande,

Tabela 3.2 – Estações usadas no rio Doce

Convencionais				
Pluviométricas				
Código	Nome	Município	Latitude	Longitude
01941010	SÃO SEBASTIÃO DA ENCRUZILHADA	AIMORÉS	-19,4925	-41,1617
01941004	RESPLENDOR - JUSANTE	RESPLENDOR	-19,3431	-41,2461
01941006	ASSARAI - MONTANTE	POCRANE	-19,5947	-41,4581
Telemétricas				
Pluviométricas/Fluviométricas				
Código	Nome	Município	Latitude	Longitude
56990005	UHE AIMORÉS RIO MANHUAÇU	AIMORÉS	-19,4917	-41,1614
56994500	COLATINA PONTE	COLATINA	-19,5333	-40,6297

Tabela 3.3 – Estações usadas no rio Grande

Telemétricas				
Fluviométricas				
Código	Nome	Município	Latitude	Longitude
62020080	UHE ILHA SOLTEIRA BARRAMENTO	ILHA SOLTEIRA	-20,3797	-51,3686
Pluviométricas/Fluviométricas				
Código	Nome	Município	Latitude	Longitude
61998080	UHE ÁGUA VERMELHA BARRAMENTO	OUROESTE	-19,8628	-50,3475

Tabela 3.4 – Estações usadas no rio São Francisco

Convencionais				
Fluviométricas				
Código	Nome	Município	Latitude	Longitude
44290002	PEDRAS DE MARIA DA CRUZ	PEDRAS DE MARIA DA CRUZ	-15,6011	-44,3967
Pluviométricas/Fluviométricas				
Código	Nome	Município	Latitude	Longitude
01544017	PEDRAS DE MARIA DA CRUZ	JANUÁRIA	-15,5978	-44,3903
01544032	USINA DO PANDEIROS MONTANTE	JANUÁRIA	-15,4831	-44,7672
01544036	LONTRA	LONTRA	-15,9056	-44,3072

as mais próximas da foz do rio e próximas à divisa com o estado de Minas Gerais, são aquelas listadas na tabela.

Uma situação semelhante ocorreu com o rio Doce. Não foram encontradas estações com dados disponíveis na foz do rio Doce, localizada no estado de Minas Gerais. Portanto, foi necessário utilizar a estação 56994500, situada no estado do Espírito Santo.

Estas são as únicas observações relevantes sobre as estações utilizadas.

### 3.3 Pré-processamento dos Dados

Com os dados disponíveis localmente, o primeiro passo antes de qualquer análise foi garantir a continuidade temporal dos mesmos. Existiam dias faltantes, e, para garantir uma linha do tempo contínua, foi necessário preencher essas lacunas. Os 11 anos de dados diários resultaram em um total de 4017 linhas de dados após essa etapa.

A sazonalidade é um fenômeno bem conhecido e estabelecido na análise hidrológica das bacias hidrográficas da América do Sul. O aumento da precipitação começa na primavera, em setembro, e atinge seus picos nos meses de dezembro e janeiro, durante o verão. Consequentemente, as vazões dos rios aumentam. Com a chegada do outono e, posteriormente, do inverno, os índices pluviométricos diminuem, assim como as vazões nos rios. (9)

Considerando esse fenômeno, o preenchimento dos dados faltantes foi realizado replicando o padrão sazonal. Para preencher um dia faltante em julho, por exemplo, foi utilizado o valor correspondente ao mesmo dia nos anos anteriores. Para evitar a repetição exata do ano anterior, utilizou-se a média dos últimos três anos. As funções desenvolvidas para essa finalidade são personalizáveis, permitindo que se opte por repetir exatamente o ano anterior ou considerar mais de três anos, dependendo das necessidades do estudo.

Note que a estratégia de realizar a média, para o dia, dos anos anteriores nem sempre preenchia exatamente as lacunas. Quando havia muitos dados faltantes no início da série isso causava problema e a inserção de dados falhava. O que é o comportamento normal.

Foi então que realizou-se uma nova contagem dos dados que ainda permaneciam faltantes. Para esses casos nulos, foi aplicada a imputação de dados utilizando o modelo kNN (k-Nearest Neighbors - k-vizinhos mais próximos), com o objetivo de garantir uma melhor dispersão dos valores imputados. O modelo kNN operou calculando a distância euclidiana dos pontos nulos utilizando os sete vizinhos mais próximos, atribuindo maior peso aos vizinhos mais próximos no cálculo. Esse método de imputação visou preservar a tendência local e o comportamento da série temporal dentro da semana em que o dado faltante estava. Após esta nova fase de imputação dos dados as séries ficaram completamente preenchidas.

É muito importante o destaque para esta fase de preenchimento de dados faltantes, e os desafios que isso apresentou ao trabalho, porque a escassez de informação foi um problema. Quando o período faltante era curto, o comportamento da série temporal preservou coerentemente os padrões sazonais, de tendência e estacionariedade. Contudo, mais especificamente para o rio Grande, isso tudo ainda não foi suficiente. A série temporal

de vazão não preservou o comportamento sazonal esperado, ficando com muitos ruídos. Isso será mostrado adiante.

Neste momento cabe explicar uma nomenclatura utilizada no trabalho para rapidamente identificar o tipo de estação, se convencional ou telemétrica, de que dado ela trata (chuva ou vazão) e o código da estação. Tomemos dois exemplos que serão vistos nesta seção. Esta é a estação ‘c\_cv\_01941010’, utilizada na análise do rio Doce. A letra ‘c’ designa ‘convencional’ e as letras ‘cv’ significam ‘chuva’, conseqüentemente, a sequência numérica é o código da estação registrado nos sistemas da ANA. A mesma analogia serve para as estações telemétricas. O nome ‘t\_cv\_54790000’ significa ‘estação telemétrica de precipitação, código 54790000’.

### 3.3.1 Rio Jequitinhonha

A estação de vazão utilizada no rio Jequitinhonha apresentou uma quantidade significativa de dados faltantes, especialmente no início da série temporal. Observa-se uma clara sazonalidade na série, com picos de vazão ocorrendo predominantemente no final e início de cada ano (figura 3.1). Nas páginas seguintes, serão apresentados gráficos comparativos entre a série original, sem dados imputados (incompleta), e a série após a imputação de dados (completa). Essa comparação, contrapondo a série fornecida pela ANA e os resultados após a inserção de dados, permitirá uma visualização mais clara do impacto das técnicas de preenchimento. Cabe lembrar que, inicialmente, foi aplicada a média dos últimos três anos para replicar a sazonalidade. Para os dados que permaneceram ausentes, utilizou-se o modelo kNN para completar a série. Esta estação, identificada como t\_vz\_54790000, apresentou 532 dias de dados nulos, o que corresponde a aproximadamente 13,24% do total. Essa é a estação-alvo para a previsão das vazões.

A seguir, destaca-se o trecho da série com a maior quantidade de dados faltantes (figura 3.2), que abrange o período de janeiro de 2013 a janeiro de 2016. Em sequência, é apresentada a série após a imputação dos dados (figura 3.3). Notavelmente, essa seção não apresentou resultados ideais, uma vez que a imputação atribuiu vazões zero em vários dias, o que não é realista, pois isso indicaria a secagem completa do rio, o que é improvável. No entanto, esses valores zero não impactaram significativamente os resultados finais da análise, já que se referem a um período distante do foco principal deste estudo. Uma alternativa seria excluir todo o trecho anterior ao ano de 2016, mas optou-se por manter a uniformidade nos critérios de aproveitamento dos dados ao longo do trabalho, dado que outros rios também foram analisados, e buscava-se assegurar consistência nos resultados.

Observe também o trecho de dados faltantes mais próximo ao final dos anos analisados, em 2021 e 2022 (figura 3.4). Esta porção da série ficou boa visto que havia informação prévia suficiente, a inserção de dados respeitou coerentemente a sazonalidade (figura 3.5).

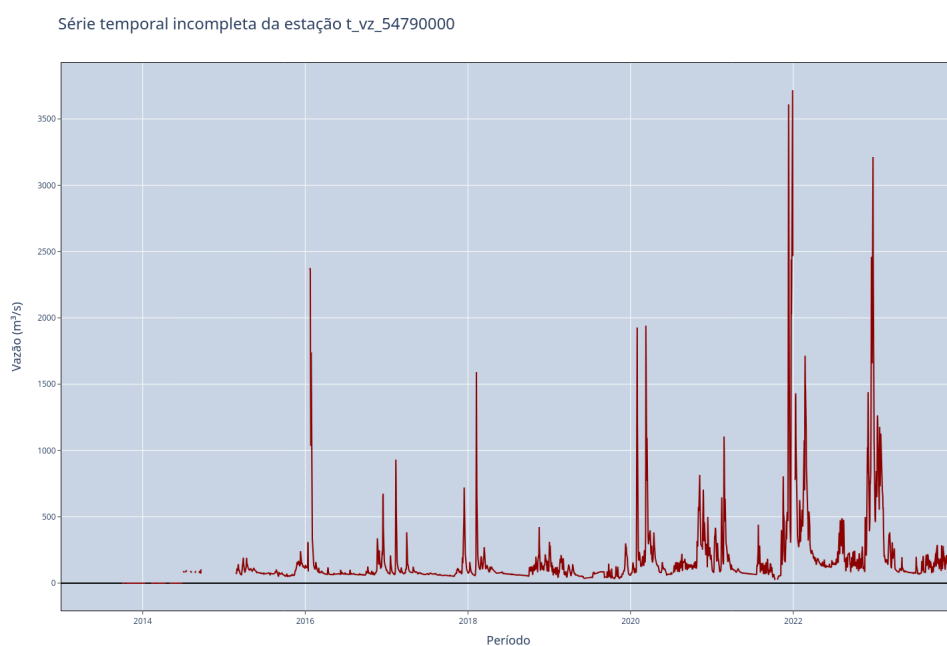


Figura 3.1 – Série temporal incompleta da estação t\_vz\_54790000 (fonte: o autor)

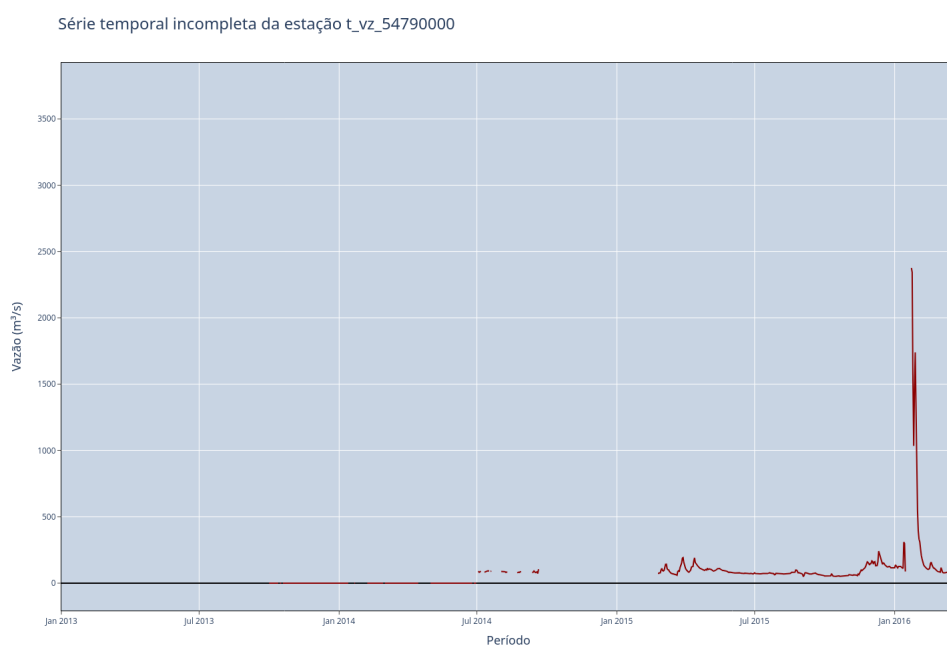


Figura 3.2 – Detalhe da série temporal da estação t\_vz\_54790000, ainda sem dados imputados, de 2013 a 2016 (fonte: o autor)

Por fim, uma visão ampla de como ficou a série temporal após os procedimentos de imputar os dados. (figura 3.6)

A mesma análise foi realizada para as estações de chuva. Na estação t\_cv\_54790000 (figura 3.7) faltavam 273 dias de dados (6,79%). Já a estação t\_cv\_01640000 estava totalmente preenchida, sem valores nulos. (figura 3.9)



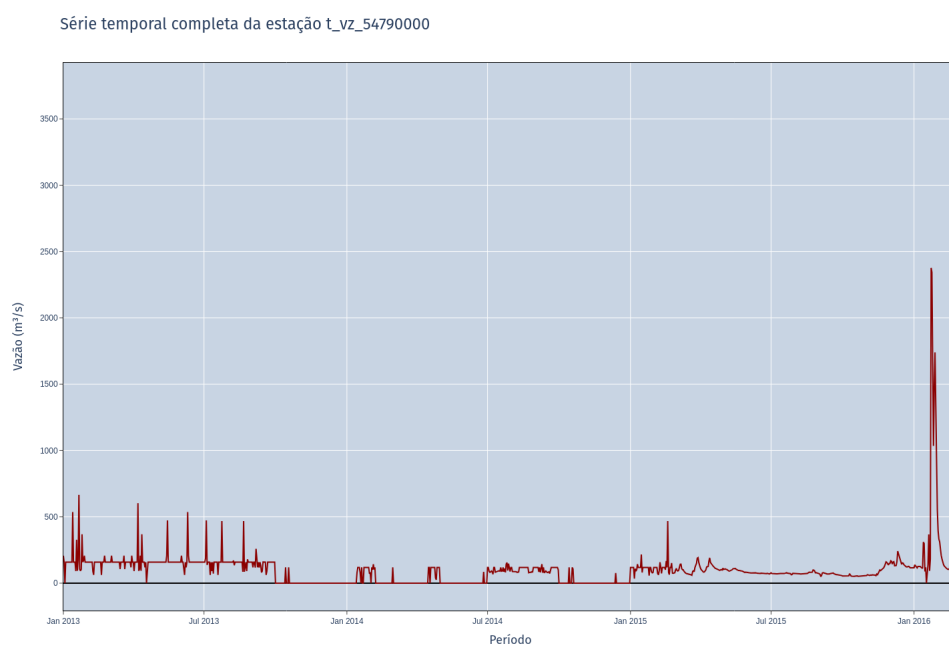


Figura 3.3 – Detalhe da série temporal da estação t\_vz\_54790000, com dados imputados, de 2013 a 2016 (fonte: o autor)

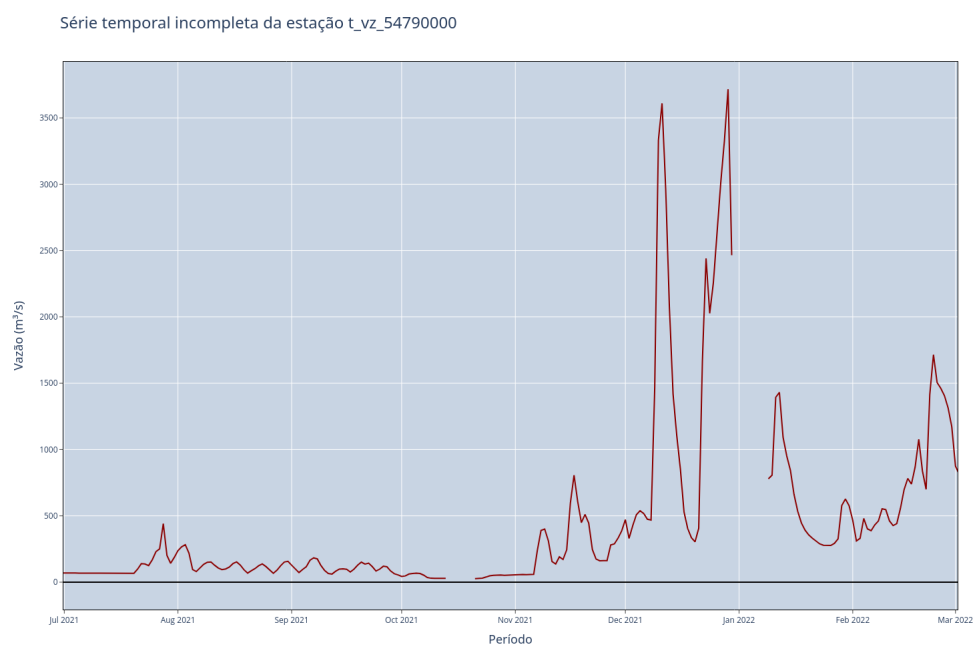


Figura 3.4 – Série temporal incompleta da estação t\_vz\_54790000 no detalhe entre 2021 e 2022 (fonte: o autor)

Note que no início desta série de precipitação, o ano de 2013, não possuem dados. As séries de chuva completas ficaram desta forma (figuras 3.8 e 3.9)

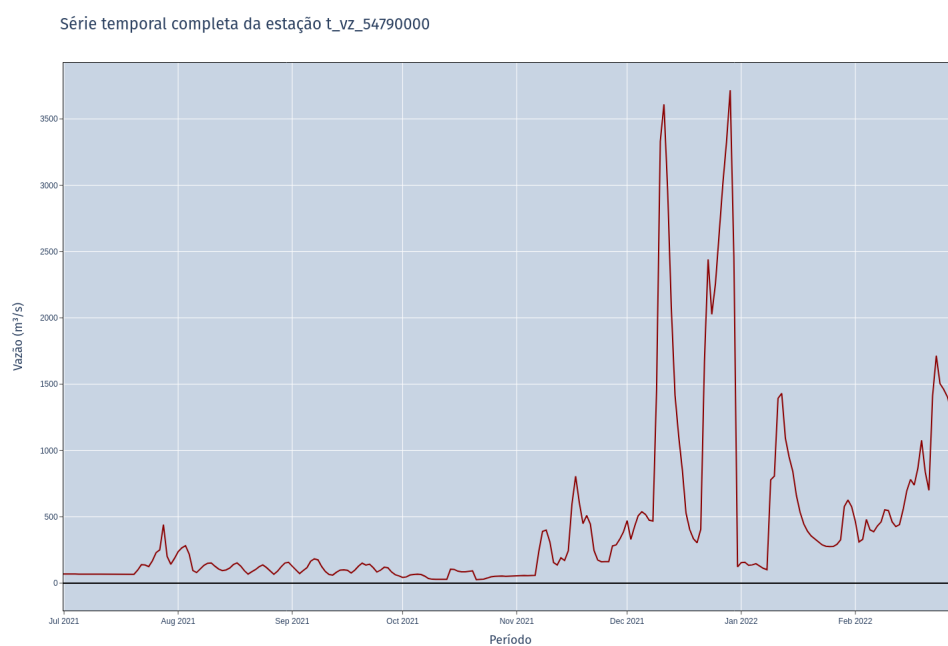


Figura 3.5 – Série temporal completa da estação t\_vz\_54790000 no detalhe entre 2021 e 2022 (fonte: o autor)

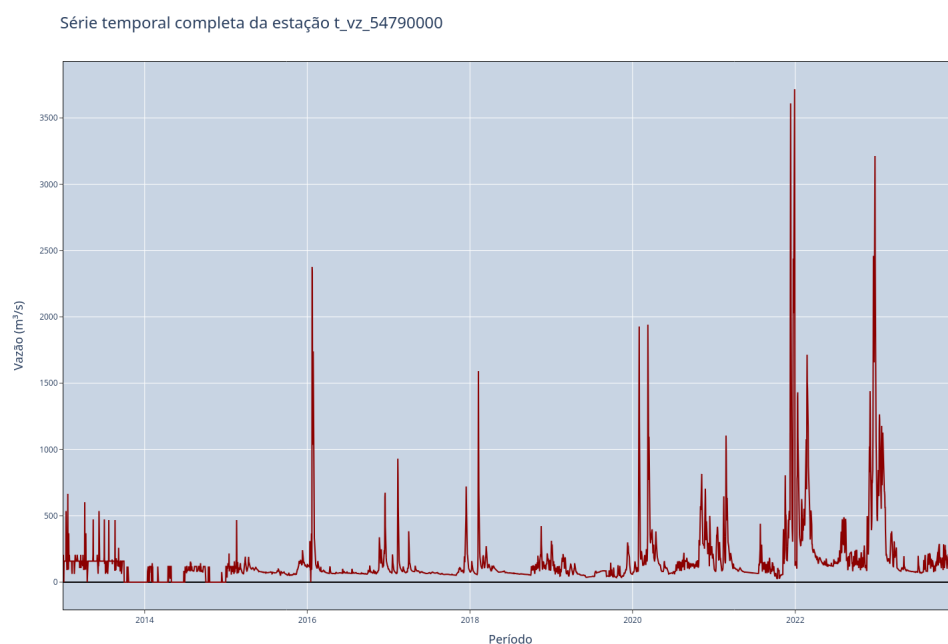


Figura 3.6 – Série temporal completa da estação t\_vz\_54790000 (fonte: o autor)

### 3.3.2 Rio Doce

A estação alvo para o rio Doce é a estação c\_vz\_56994500. Sua série temporal foi a que apresentou melhor qualidade no que diz respeito à frequência de medições realizadas. Havia falta de apenas 3 dias, dos 4017 dias do período inteiro. Apenas o preenchimento sazonal bastou para completar a série e não foi preciso mais que isso. Cabe destacar a

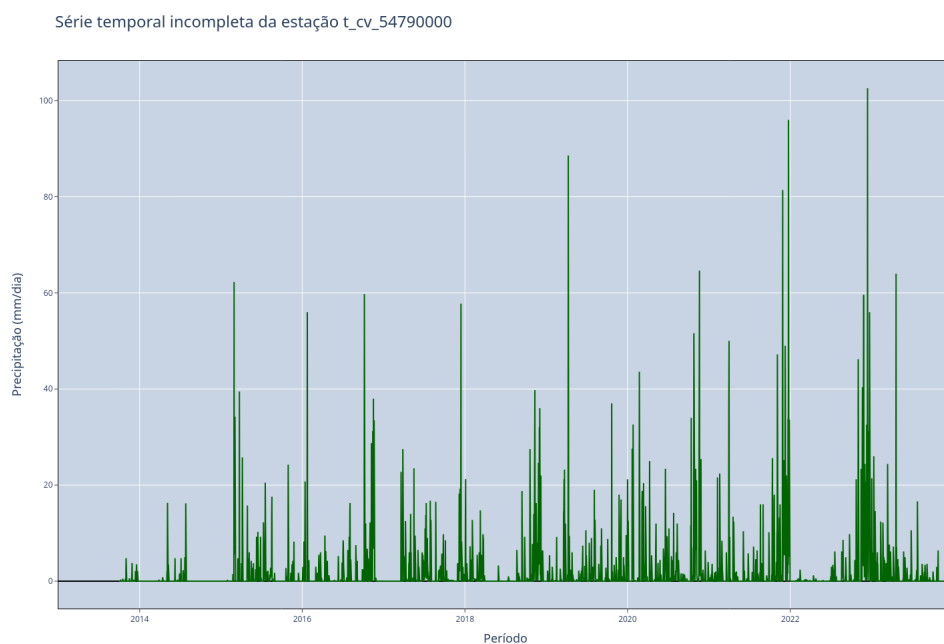


Figura 3.7 – Série temporal incompleta da estação t\_cv\_54790000 (fonte: o autor)

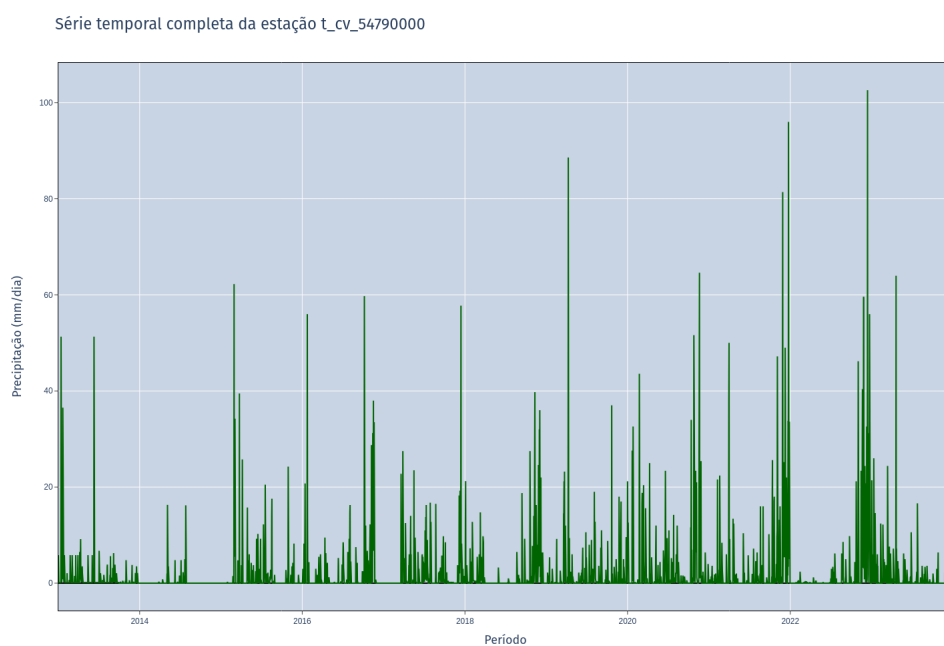


Figura 3.8 – Série temporal completa da estação t\_cv\_54790000 (fonte: o autor)

sazonalidade da série. Ficou bastante evidente este comportamento. (figura 3.10)

Se para os dados de vazão no rio Doce a série foi, digamos, mais comportada, o mesmo não se pode dizer exatamente das estações de chuva. Ao menos, não para duas delas. Estas estações tiveram os dados desconsiderados e foram removidos das análises. Primeiro foi a estação t\_cv\_56990850 que possuía valores discrepantes demais para serem considerados. Valores da ordem de 7000 mm/dia, 8500 mm/dia. Além deste problema,

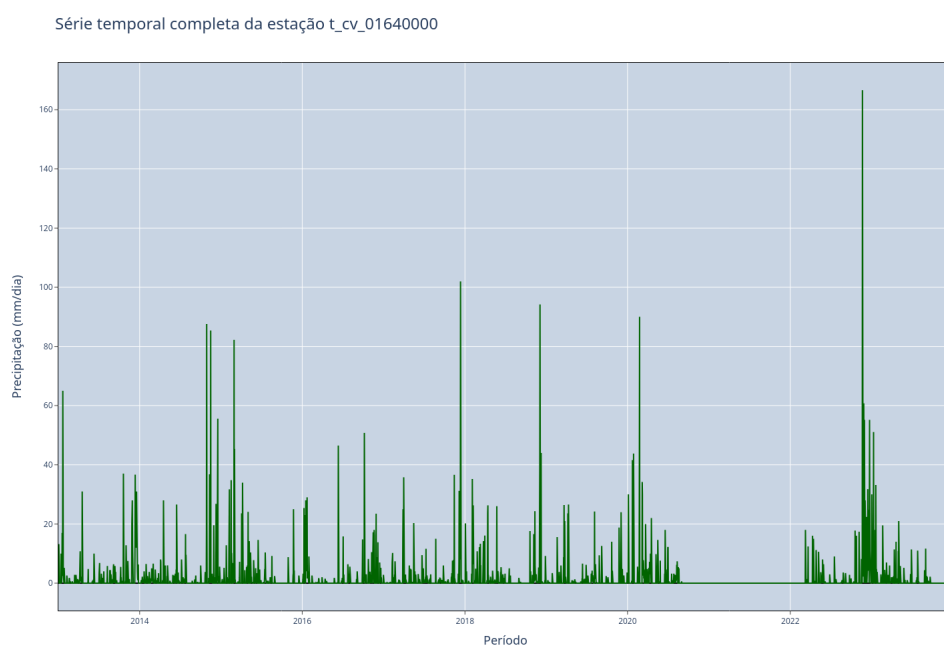


Figura 3.9 – Série temporal completa da estação t\_cv\_01640000 (fonte: o autor)

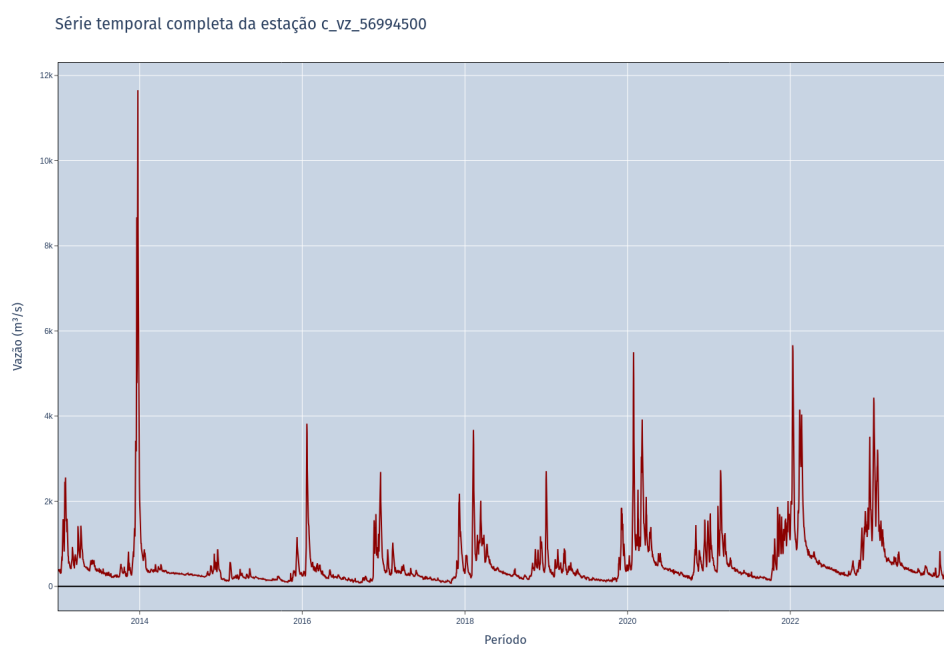


Figura 3.10 – Série temporal completa da estação c\_vz\_56994500 (fonte: o autor)

havia ainda 3134 dias com dados nulos, o que representava 78% do total. (figura 3.11)

A outra estação removida foi a t\_cv\_56994500. Conforme pode ser observado na figura 3.12, nela havia um longo hiato de dados zerados, voltando à normalidade apenas mais recentemente. Como as informações de precipitação que deveria haver para a estação no período do hiato, pode ser retirado de outras estações usadas na modelagem, optou-se por remover esta estação completamente do trabalho.

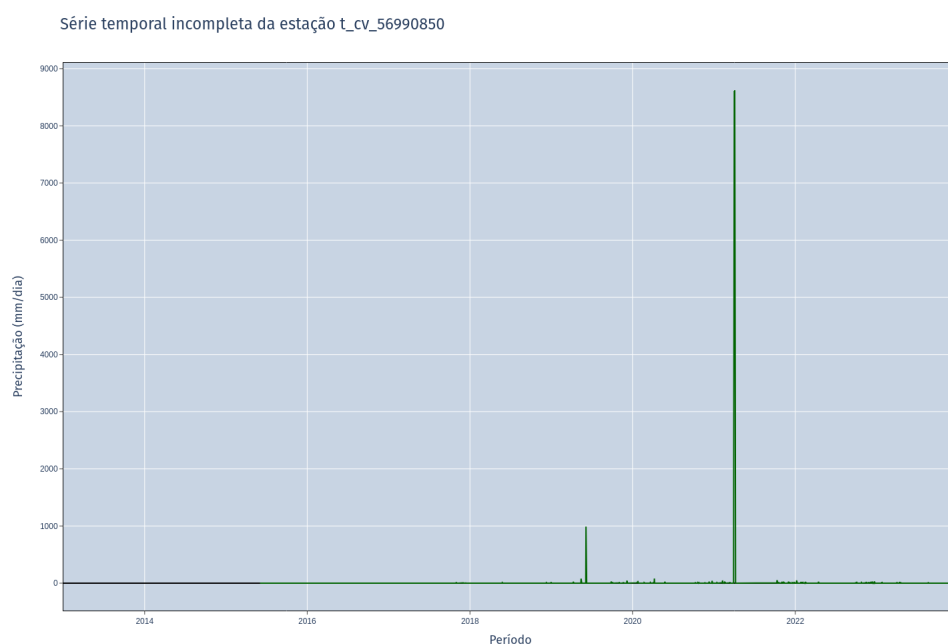


Figura 3.11 – Série temporal da estação t\_cv\_56990850 - não utilizada (fonte: o autor)

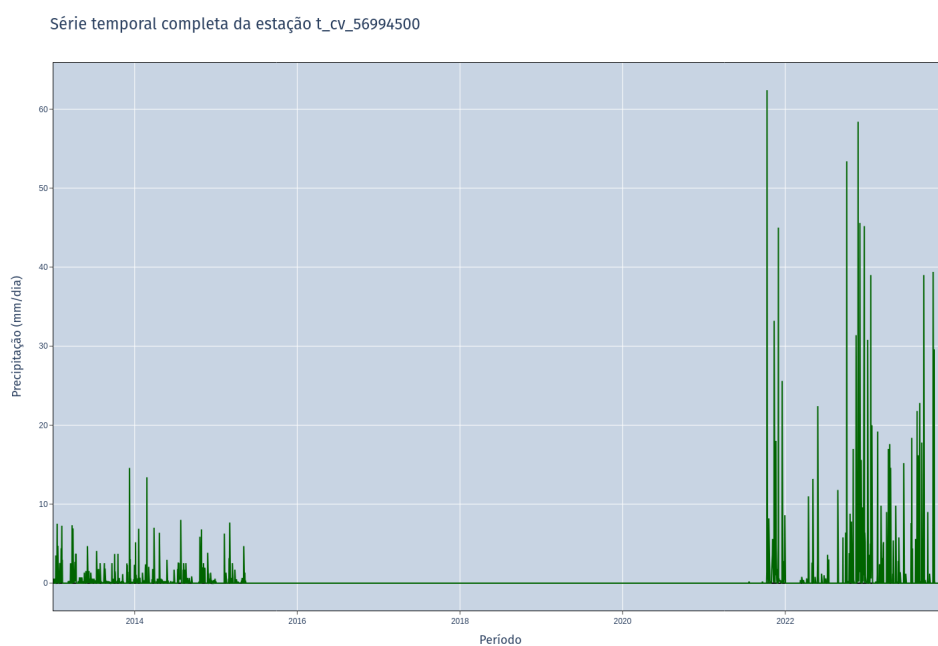


Figura 3.12 – Série temporal da estação t\_cv\_56994500 - não utilizada (fonte: o autor)

As estações que, enfim, foram empregadas na modelagem são as que estão na tabela e, adiante, o gráfico da série temporal de cada uma delas. (figuras 3.13, 3.14, 3.15 e 3.16)

### 3.3.3 Rio Grande

O rio Grande apresentou desafios significativos ao longo de todo o desenvolvimento deste trabalho. A dificuldade inicial surgiu na ausência de dados disponíveis em estações

Tabela 3.5 – Estações de precipitação usadas - final

<b>Estação</b>	<b># dados faltantes</b>	<b>% dados faltantes</b>
c_cv_01941010	153	3,81
c_cv_01941004	31	0,77
c_cv_01941006	0	0,00
t_cv_56990005	1395	34,73

Série temporal completa da estação c\_cv\_01941010

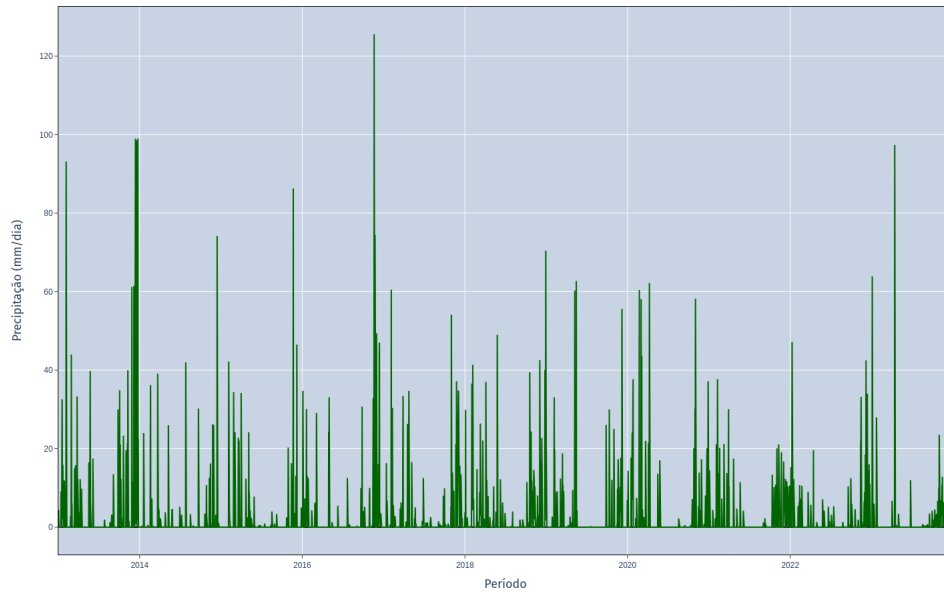


Figura 3.13 – Série temporal completa da estação c\_cv\_01941010 (fonte: o autor)

Série temporal completa da estação c\_cv\_01941004

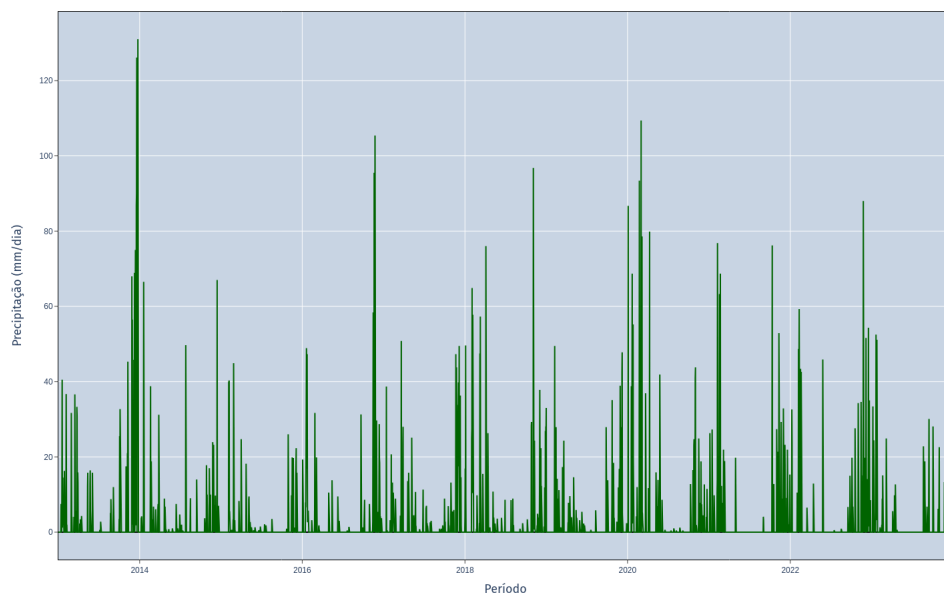


Figura 3.14 – Série temporal completa da estação c\_cv\_01941004 (fonte: o autor)

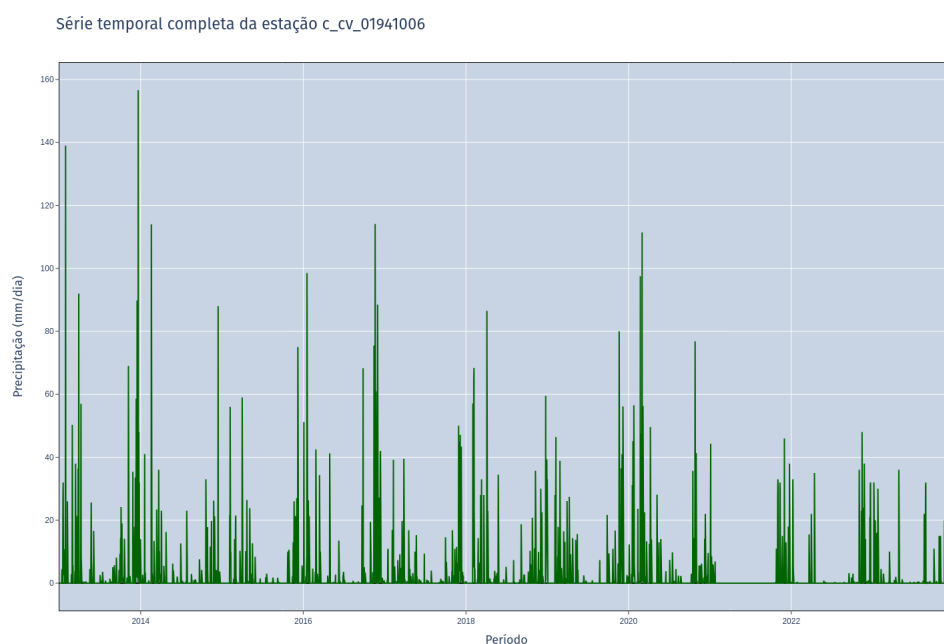


Figura 3.15 – Série temporal completa da estação c\_cv\_01941006 (fonte: o autor)

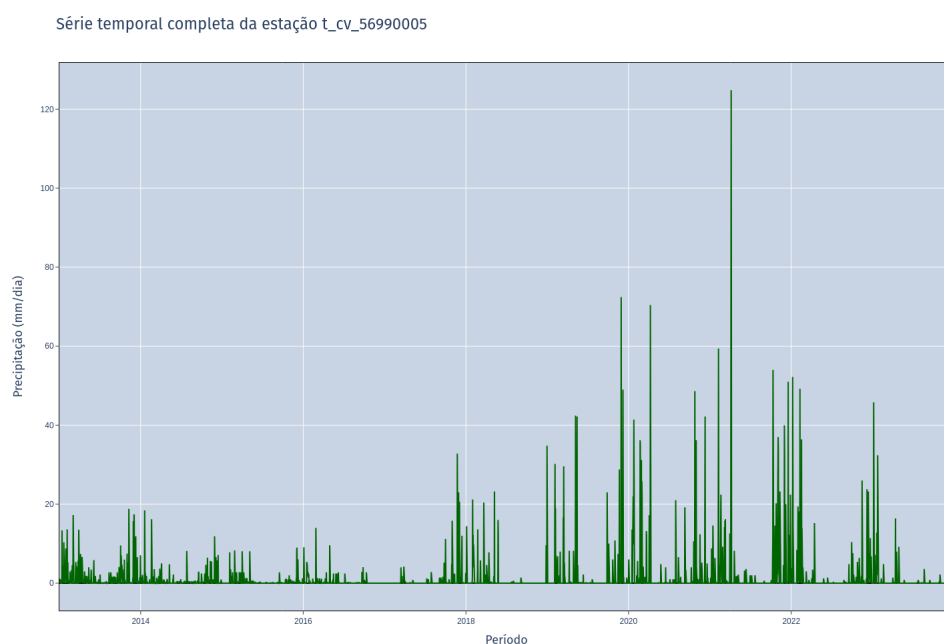


Figura 3.16 – Série temporal completa da estação t\_cv\_56990005 (fonte: o autor)

dentro do estado de Minas Gerais para o período de análise estipulado, conforme mencionado anteriormente. Foi necessário buscar uma estação o mais próxima possível da divisa com Minas Gerais, localizada no estado de São Paulo, especificamente no município de Ilha Solteira. Entretanto, os desafios não se limitaram a essa questão geográfica.

A série temporal de vazão da estação selecionada, denominada t\_vz\_62020080, estava incompleta e não abrangia todo o período de 11 anos estipulado para a análise.

(figura 3.17) Os dados disponíveis mais antigos datavam de 2020. Contudo, em conformidade com o escopo estabelecido para este estudo, foi realizado o preenchimento dos dados faltantes, aplicando-se o mesmo protocolo utilizado para os demais rios analisados. Este procedimento foi necessário para garantir a consistência, integridade e comparabilidade das análises subsequentes.

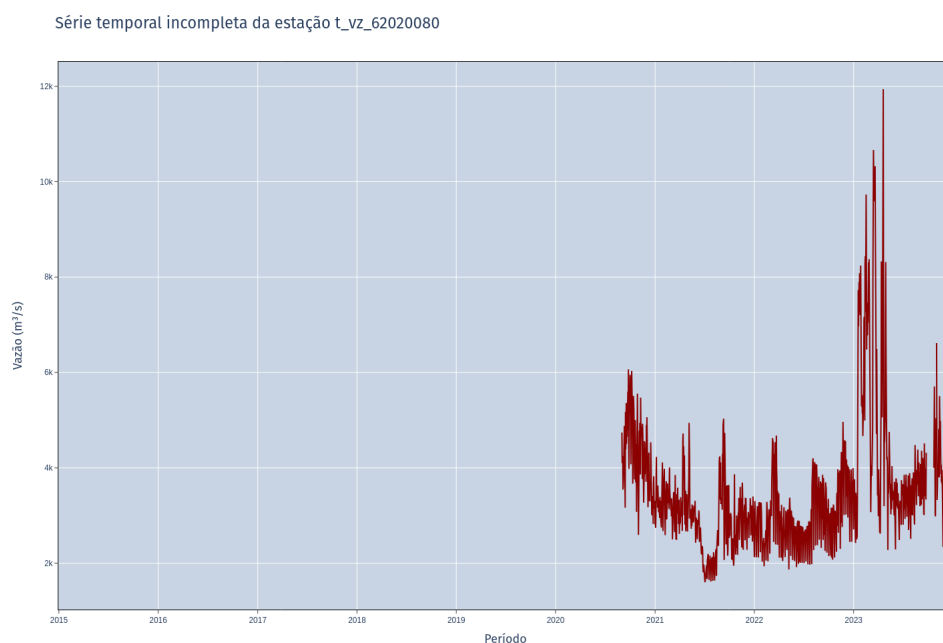


Figura 3.17 – Série temporal incompleta da estação t\_vz\_62020080 (fonte: o autor)

Infelizmente, o caráter ruidoso da série permaneceu mesmo após a aplicação do protocolo de preenchimento dos dados ausentes, conforme pode ser observado na imagem final gerada. (figura 3.18) A série em questão apresentava 2099 dias faltantes, correspondendo a aproximadamente 64% de dados nulos. Outro aspecto relevante para essa estação é que, diferentemente das outras, não foram utilizados os 4.017 registros previstos inicialmente. As informações mais antigas disponíveis datavam de 2015, resultando, assim, em um total de 3289 registros diários utilizados especificamente para o rio Grande.

A estação de precipitação utilizada, a única neste caso, foi a estação t\_cv\_61998080, pois foi a única que apresentou dados válidos. Curiosamente, outra estação de precipitação disponível também apresentou dados para o período analisado, mas a base de dados consistia exclusivamente em valores zero. Por essa razão, a estação t\_cv\_62020080 foi completamente excluída do estudo.

Em relação à estação t\_cv\_61998080, houve necessidade de preencher apenas um número reduzido de dados ausentes, totalizando 169 registros, o que correspondia a 5,14% do total. (figura 3.19) Trata-se de uma série com uma quantidade expressiva de dados, que efetivamente pôde contribuir de maneira significativa para as análises realizadas.



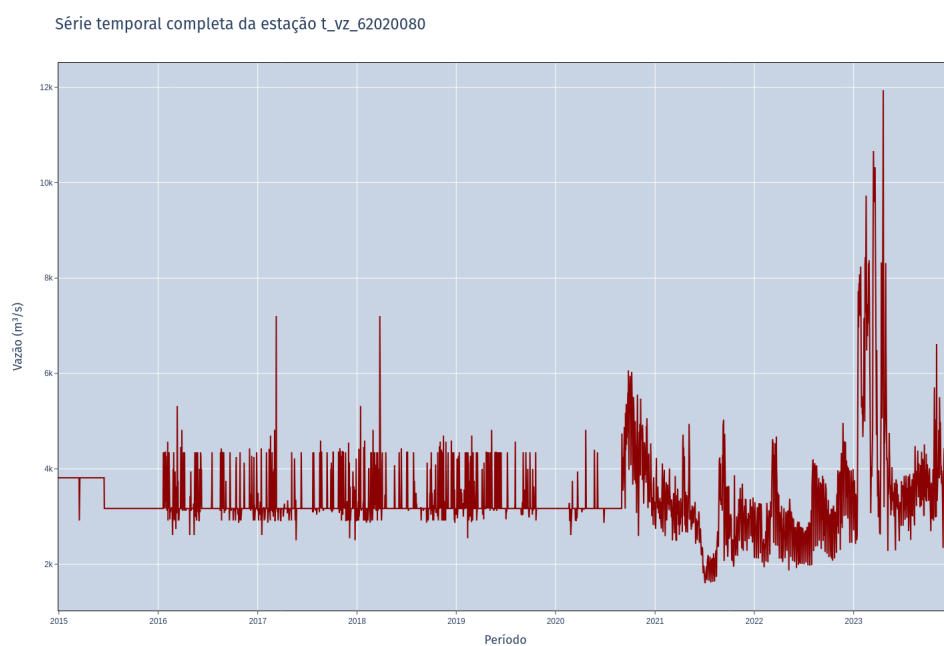


Figura 3.18 – Série temporal completa da estação t\_vz\_62020080 (fonte: o autor)

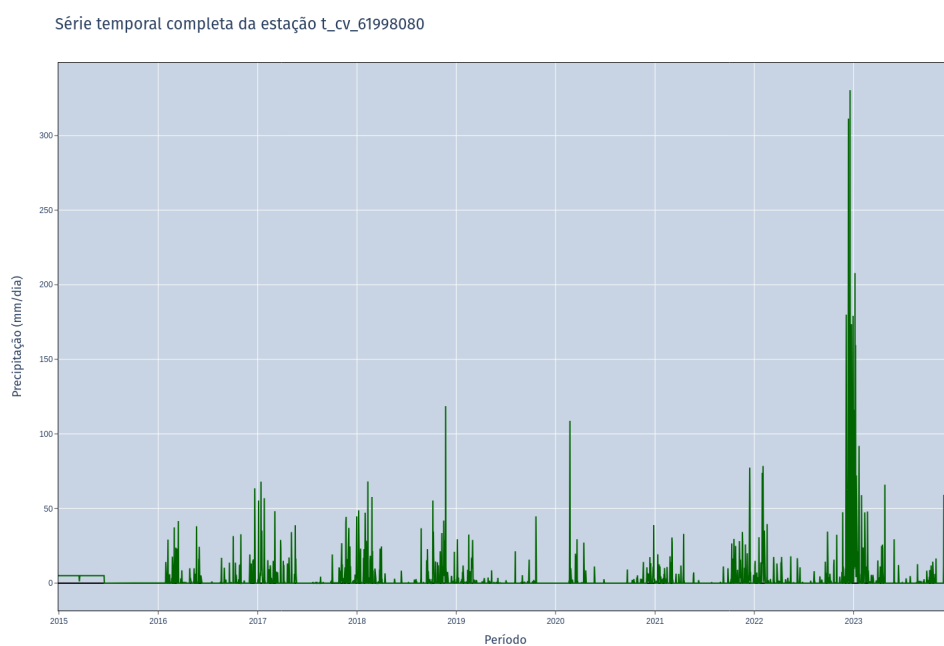


Figura 3.19 – Série completa da estação t\_cv\_61998080 (fonte: o autor)

Ressalta-se que o trecho de dados faltantes para a estação t\_cv\_61998080 concentrava-se no início da série temporal, especificamente no ano de 2015. No gráfico os dados já estão imputados.

### 3.3.4 Rio São Francisco

Por fim, foi realizado o procedimento de preenchimento dos dados nulos para o Rio São Francisco. A estação-alvo c\_vz\_44290002 apresentou uma série bastante completa ao longo do período de análise, com apenas 120 dias nulos em um total de 4017 dias. O trecho com dados faltantes pode ser observado em detalhe na figura (3.20).

Para esta estação, o preenchimento sazonal foi suficiente para suprir as lacunas existentes, não sendo necessário aplicar procedimentos adicionais de imputação de dados. (figura 3.21)

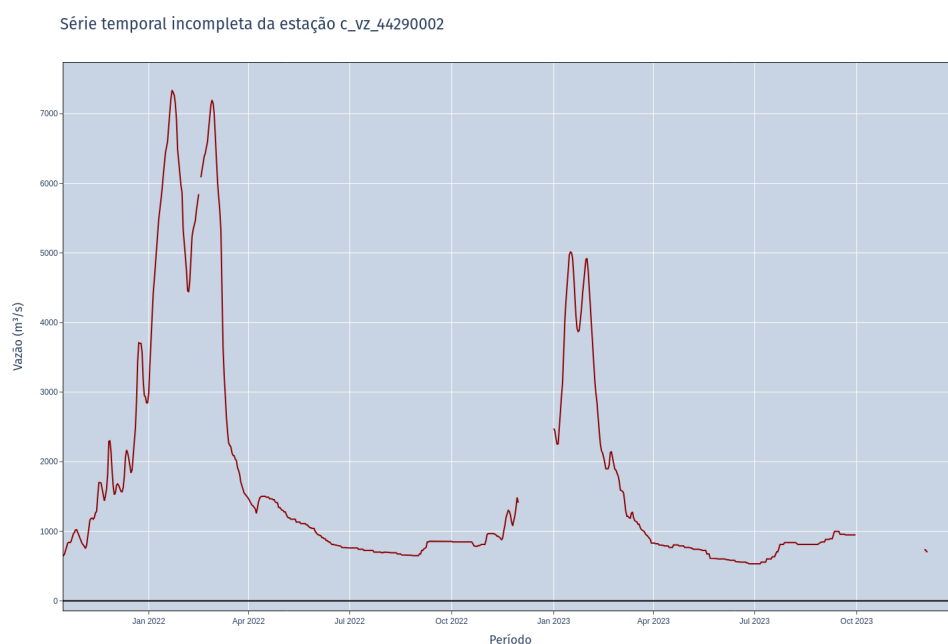


Figura 3.20 – Detalhe do trecho com dados nulos da estação c\_vz\_44290002 (fonte: o autor)

No que se refere às estações de precipitação selecionadas para a análise no rio São Francisco, não foi necessário realizar nenhuma inserção de dados, uma vez que todas as séries estavam completas, abrangendo a totalidade dos 4017 dias de registro. As séries temporais correspondentes podem ser visualizadas nos gráficos apresentados a seguir. (figuras 3.22, 3.23, 3.24)

## 3.4 Modelos de Aprendizado de Máquina

### 3.4.1 Seasonal Naive

O modelo **Seasonal Naive** não pode ser considerado um modelo de previsão sofisticado. Em vez disso, ele funciona como uma linha de base (baseline), servindo como ponto de partida para avaliar o desempenho de outros modelos de previsão. Este modelo simplesmente repete a sazonalidade observada no período anterior, ou seja, assume que

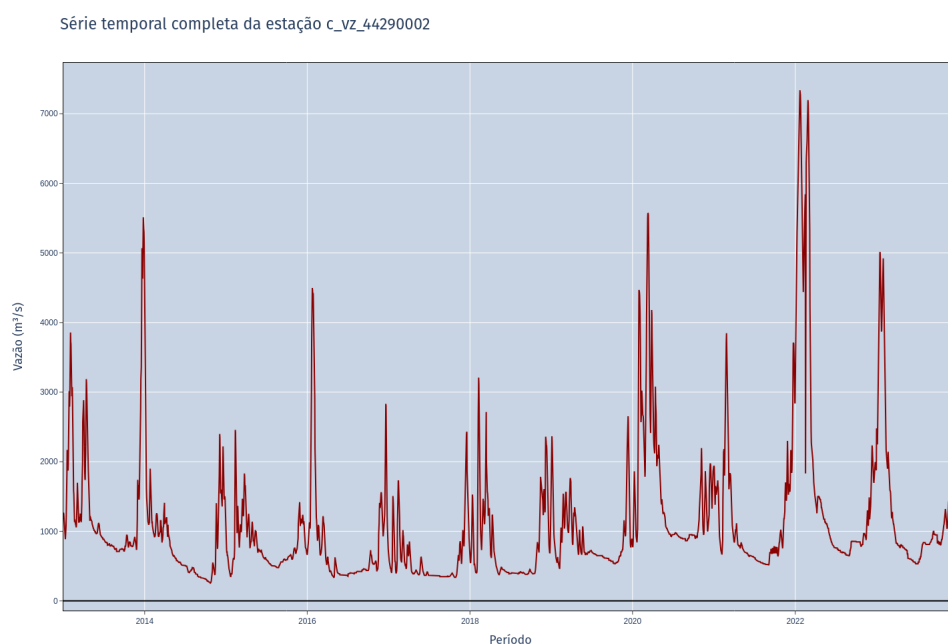


Figura 3.21 – Série temporal completa da estação c\_vz\_44290002 (fonte: o autor)

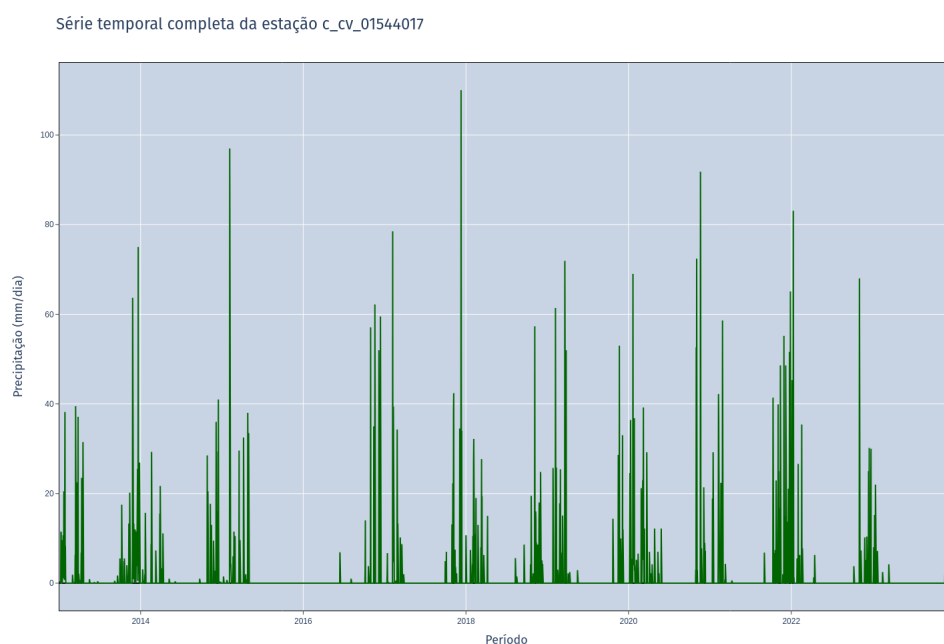


Figura 3.22 – Série temporal completa da estação c\_cv\_01544017 (fonte: o autor)

o comportamento do próximo ciclo sazonal será o mesmo do anterior, com um possível ajuste por *drift* (desvio).

Esse método é útil para fornecer uma idéia inicial do comportamento esperado, permitindo que os modelos subsequentes sejam comparados a ele. Por ser um modelo simples, ele não captura tendências ou variações complexas, mas estabelece um *benchmark* mínimo para o qual outros métodos mais elaborados e complexos devem se comparar.

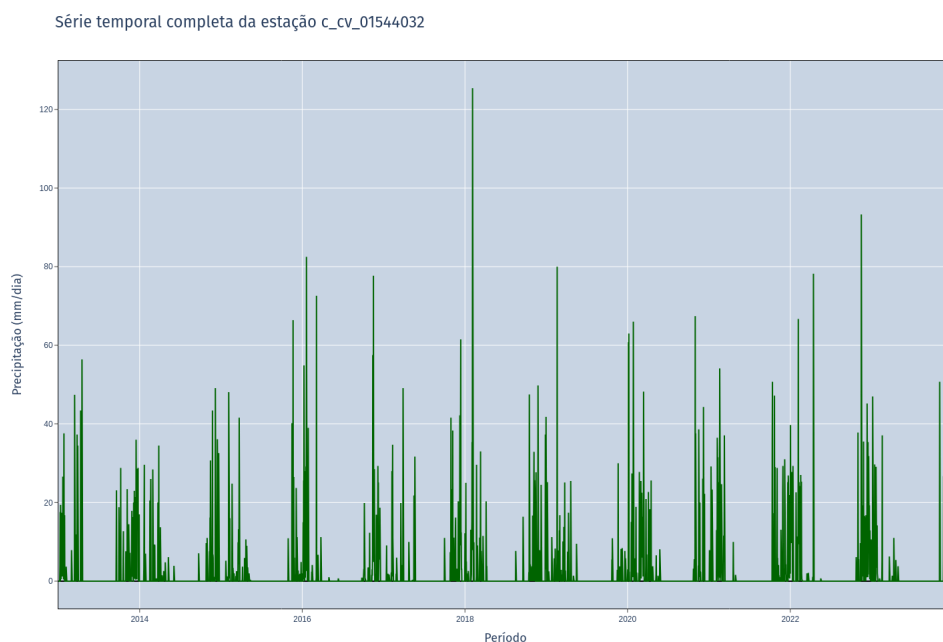


Figura 3.23 – Série temporal completa da estação c\_cv\_01544032 (fonte: o autor)

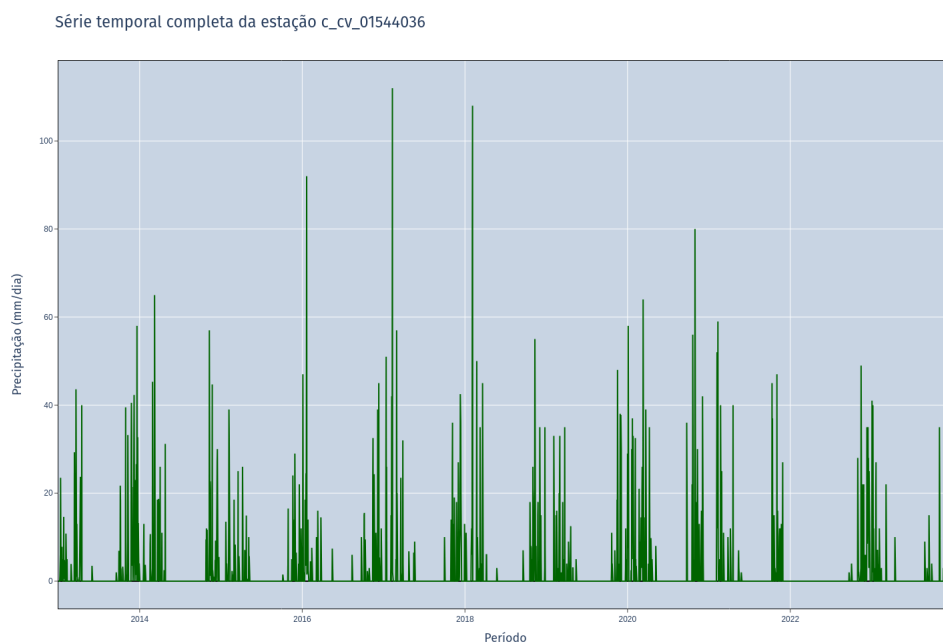


Figura 3.24 – Série temporal completa da estação c\_cv\_01544036 (fonte: o autor)

### 3.4.2 Linear Regression

O modelo de Regressão Linear (*Linear Regression*) é uma abordagem estatística simples, porém poderosa, que busca modelar o relacionamento entre uma variável dependente e uma ou mais variáveis independentes através de uma linha reta.

O funcionamento da Regressão Linear envolve o cálculo de coeficientes para as

variáveis independentes, que determinam o peso de cada uma destas variáveis na previsão da variável dependente. O objetivo do modelo é minimizar o erro quadrático médio, ou seja, a soma dos quadrados das diferenças entre os valores previstos e os valores reais.

Os resultados obtidos com este modelo mostraram-se muito bons, e na verdade, ele se destacou como um modelo de base robusto para os outros modelos mais complexos. Sua simplicidade e eficácia tornam-no uma escolha bastante sólida. Isso será discutido.

Aqui está o fluxograma para o funcionamento do modelo de Regressão Linear

INSERIR DIAGRAMA ?

### 3.4.3 CatBoost

CatBoost é um algoritmo de aprendizado de máquina baseado em árvores de decisão que se destaca pela sua eficiência e capacidade de lidar com variáveis categóricas sem necessidade de pré-processamento extensivo. É possível especificar as variáveis categóricas já no momento de criação do objeto, de acordo com a implementação mais usual do modelo.

Seu nome é uma abreviação de “*Categorical Boosting*” e o mesmo é um tipo de modelo de *gradient boosting* que cria sequencialmente árvores de decisão (modelos fracos), onde cada árvore é ajustada para corrigir os erros cometidos pelas árvores anteriores. Abaixo está uma explicação passo-a-passo de como o CatBoost funciona:

- **Preprocessamento de Variáveis Categóricas:** CatBoost pode tratar variáveis categóricas de forma automática, utilizando uma codificação baseada em permutação em que as categorias são transformadas em números levando em consideração a dependência da ordem.
- **Construção de Árvores:** O modelo cria uma série de árvores de decisão em sequência. Cada árvore tenta corrigir os erros das árvores anteriores. Elas, as árvores, são construídas utilizando uma amostra aleatória dos dados o que ajuda a reduzir o viés.
- **Gradient Boosting:** O CatBoost utiliza um método de *gradient boosting*, onde o modelo tenta minimizar uma função de perda ajustando os pesos das observações e focando nos erros cometidos nas iterações anteriores.
- **Regularização:** Para evitar *overfitting*, o CatBoost incorpora técnicas de regularização, como a introdução de uma pequena aleatoriedade no processo de construção das árvores e a suavização das previsões para variáveis categóricas.
- **Predição Final:** As previsões finais são uma média ponderada das previsões de todas as árvores, com cada árvore contribuindo com base na sua capacidade de reduzir o erro.

Esse modelo se destaca pela sua capacidade de manejar dados com muitas variáveis categóricas, sem perda de desempenho. Pode ser uma ótima escolha para conjuntos de dados grandes com relações complexas, como, exatamente, dados de precipitação e vazão.

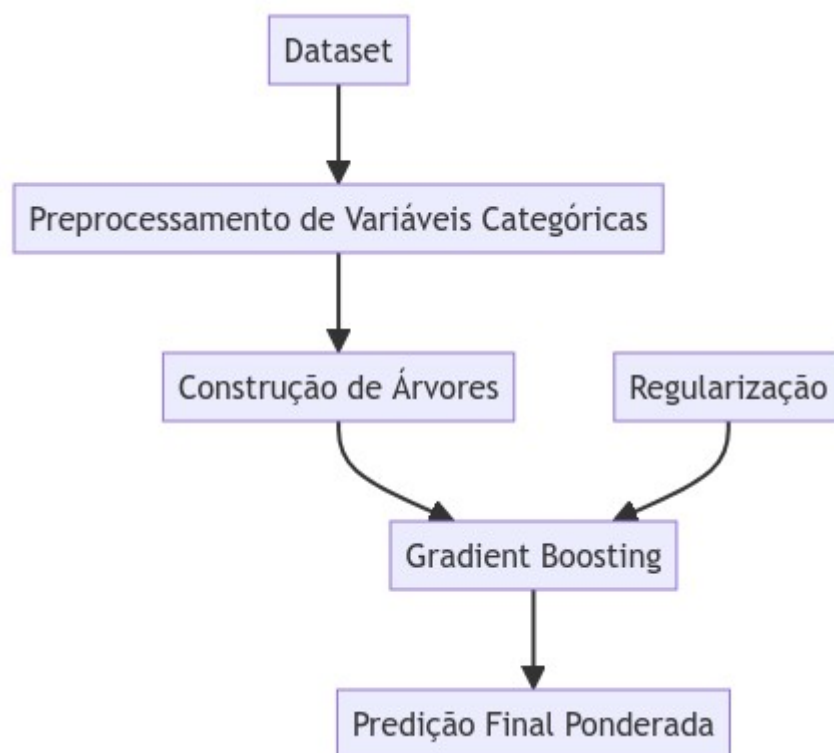


Figura 3.25 – Diagrama resumindo o funcionamento do CatBoost (fonte: o autor)

#### 3.4.4 LightGBM

O **LightGBM** é um modelo baseado em *gradient boosting* que se diferencia por sua eficiência e velocidade, sendo especialmente projetado para lidar com grandes volumes de dados. O algoritmo constrói modelos fracos (árvores de decisão) de forma sequencial, onde cada árvore sucessiva é treinada para corrigir os erros da árvore anterior e otimiza o processo de treinamento com a técnica de “Leaf-wise growth”. Esta estratégia, ao invés do tradicional Level-wise Growth, o crescimento ocorre folha a folha, a árvore expande as folhas com a maior redução de erro, resultando em árvores mais profundas e precisas, porém também mais suscetíveis ao *overfitting*, o que é controlado por hiperparâmetros como por exemplo a profundidade máxima (*max-depth*) da árvore.

As principais características do LightGBM incluem: - Alta eficiência em memória e velocidade, permitindo treinar modelos em grandes *datasets*; - Capacidade de lidar com elevado número de *features*; - Ajuste de alta precisão mesmo em cenários com dados desbalanceados.

Fluxograma do funcionamento do LightGBM:

INSERIR DIAGRAMA ?

### 3.5 Modelo Proposto

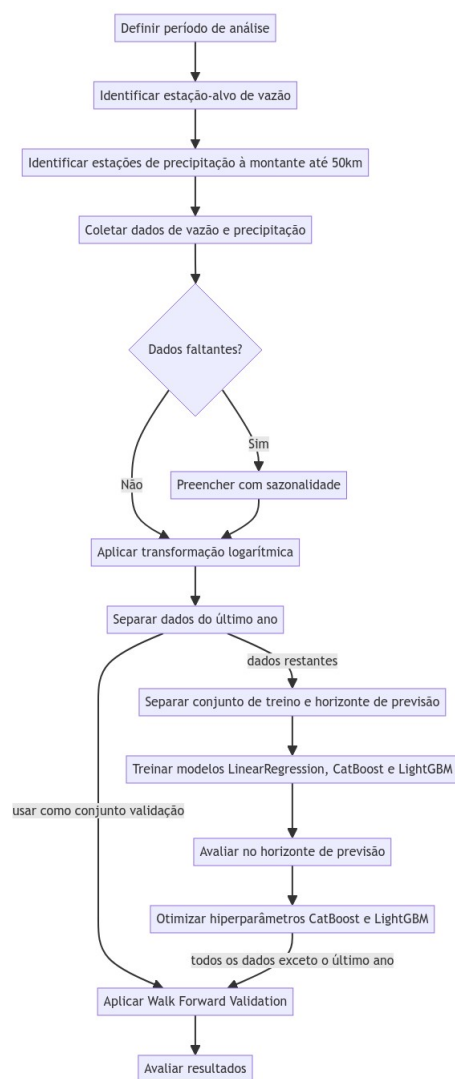


Figura 3.26 – Fluxo de trabalho (fonte: o autor)

## 4 RESULTADOS E DISCUSSÃO

### 4.1 Desempenho dos Modelos

Apresentar e comparar os resultados dos diferentes modelos utilizados.

### 4.2 Importância das Variáveis

Analisar a importância das variáveis contínuas e categóricas na previsão (feature importance).

### 4.3 Discussão dos Resultados

Interpretar os resultados e discutir as limitações. Se possível, comparar com estudos anteriores.



## 5 CONCLUSÃO E PERSPECTIVAS

### 5.1 Conclusão

Resumo das principais descobertas da pesquisa

### 5.2 Contribuições para a área

Destacar as contribuições do estudo para a área de hidrologia (aperfeiçoamento da previsão com uso de atributos categóricos, além das variáveis contínuas; dados de chuva fazendo "ajuste fino" na previsão de vazão).

### 5.3 Recomendações para Trabalhos Futuros

Sugerir direções para futuras pesquisas baseadas nas descobertas e limitações do meu estudo.

## 6 CITAÇÕES

As citações são informações extraídas de fonte consultada pelo autor da obra em desenvolvimento. Podem ser diretas, indiretas ou citação de citação. Para exemplos, consultar o apêndice D no Manual de Normalização de Trabalhos Acadêmicos disponível no *link* abaixo:

<https://www2.ufjf.br/biblioteca/wp-content/uploads/sites/56/2020/08/Manual-2020-revisado.pdf>

### 6.1 SISTEMA AUTOR-DATA

Para o sistema autor-data, considere:

- a) **citação direta** é caracterizada pela transcrição textual da parte consultada. Se com até três linhas, deve estar entre aspas duplas, exatamente como na obra consultada. Se com mais de três linhas, devem estar com recuo de 4 cm da margem esquerda, com letra menor (um ponto), espaçamento simples, sem aspas. Sendo a chamada: (AUTOR, data e página) ou na sentença Autor (data, página).
- b) **citação indireta** é aquela em que o texto foi baseado na(s) obra(s) consultada(s). Em caso de mais de três fontes consultadas, a citação deve seguir a ordem alfabética.
- c) **A citação de citação** é baseada em um texto em que não houve acesso ao original.

### 6.2 SISTEMA NUMÉRICO

**Para o sistema numérico:**

A indicação da fonte é feita por uma numeração única e consecutiva respeitando a ordem que aparece no texto. Deve-se usar algarismos arábicos remetendo à lista de referências. A indicação da numeração é apresentada entre parênteses no corpo do texto ou como expoente. Não usar colchetes. O autor pode aparecer ou não no texto. Para separar diversos autores, utiliza-se vírgula. Não utilizar nota explicativa (rodapé) quando utilizar o sistema numérico. Observe os exemplos no Manual de Normalização de Trabalhos Acadêmicos disponível em (4)

### 6.3 NOTAS

Notas de rodapé são observações e/ou aditamentos que o autor precisa incluir no texto <sup>2</sup>. Para a numeração das notas deve-se utilizar algarismos arábicos. As notas

<sup>2</sup> As notas devem ser alinhadas sendo que na segunda linha da mesma nota, a primeira letra deve estar abaixo da primeira letra da primeira palavra da linha superior, destacando assim o expoente.

devem ser digitadas dentro das margens, ficando separadas do texto por um espaço simples entre as linhas e por filete de 5 cm a partir da margem esquerda e em fonte menor (um ponto) do corpo do texto. Observe os exemplos no Manual de Normalização de Trabalhos Acadêmicos disponível no *link* abaixo:

<https://www2.ufjf.br/biblioteca/wp-content/uploads/sites/56/2020/08/Manual-2020-revisado.pdf>

## REFERÊNCIAS

- 1 BBC News Brasil. Chuvas na bahia: os fenômenos extremos que causam a tragédia no estado, julho 2024. URL <https://www.bbc.com/portuguese/brasil-59804297>. Acessado em: julho de 2024.
- 2 CNN Brasil. Temporais causam estragos em minas gerais e deixam desabrigados e desalojados, julho 2024. URL <https://www.cnnbrasil.com.br/nacional/temporais-causam-estragos-em-minas-gerais-e-deixam-desabrigados-e-desalojados/>. Acessado em: julho de 2024.
- 3 Wallisson Moreira de Carvalho. Hydrobr: A python package to work with brazilian hydrometeorological time series, julho 2020. URL <http://doi.org/10.5281/zenodo.3931027>. Version 0.1.1.
- 4 Universidade Federal de Juiz de Fora. *Manual de Normalização de Trabalhos Acadêmicos: Atualizado conforme a ABNT NBR 14724:2011*, August 2020. URL <https://www2.ufjf.br/biblioteca/wp-content/uploads/sites/56/2020/08/Manual-2020-revisado.pdf>. Acesso em: 11 ago. 2024.
- 5 Empresa de Pesquisa Energética (Brasil). *Balanço Energético Nacional 2023: Ano base 2022 / Brazilian Energy Balance 2023 Year 2022*. Empresa de Pesquisa Energética (EPE), Rio de Janeiro, 2023. 274 p., 182 ill., 23 cm.
- 6 G1. Há 1 ano no volume morto, cantareira precisará de reserva até final de 2015, maio 2015. URL <https://g1.globo.com/sao-paulo/noticia/2015/05/ha-1-ano-no-volume-morto-cantareira-precisara-de-reserva-ate-final-de-2015.html>. Acessado em: julho de 2024.
- 7 G1. Temporal em petrópolis: entenda o que provocou as chuvas intensas que causaram destruição na cidade, fevereiro 2022. URL <https://g1.globo.com/meio-ambiente/noticia/2022/02/15/temporal-em-petropolis-entenda-o-que-provocou-as-chuvas-intensas-que-causaram-destruicao-na-cidade.ghtml>. Acessado em: julho de 2024.
- 8 G1. Entenda o que causou temporal na região sul do es e o que pode ser feito para evitar novas tragédias, março 2024. URL <https://g1.globo.com/es/espírito-santo/noticia/2024/03/27/entenda-o-que-causou-temporal-na-regiao-sul-do-es-e-o-que-pode-ser-feito-para-evitar-novas-tragedias.ghtml>. Acessado em: julho de 2024.
- 9 Ingrid Petry, Fernando Mainardi Fan, Vinicius Alencar Siqueira, Walter Collishonn, Rodrigo Cauduro Dias de Paiva, Erik Quedi, Cléber Henrique de Araújo Gama, Reinaldo Silveira, Camila Freitas, and Cassia Silmara Aver Paranhos. Seasonal streamflow forecasting in south america's largest rivers. *Journal of Hydrology: Regional Studies*, 49:101487, 10 2023. ISSN 2214-5818.